

ΠΡΑΚΤΙΚΑ ΤΗΣ ΑΚΑΔΗΜΙΑΣ ΑΘΗΝΩΝ

ΣΥΝΕΔΡΙΑ ΤΗΣ 25^{ΗΣ} ΟΚΤΩΒΡΙΟΥ 1990

ΠΡΟΕΔΡΙΑ ΓΕΩΡΓΙΟΥ ΒΛΑΧΟΥ

ΓΙΑΤΙ ΣΤΙΣ ΠΕΡΙΣΣΟΤΕΡΕΣ ΠΕΡΙΠΤΩΣΕΙΣ ΕΙΝΑΙ ΑΔΥΝΑΤΗ Η ΕΓΚΑΙΡΗ ΠΡΟΒΛΕΨΗ ΤΩΝ ΒΛΑΒΕΡΩΝ ΣΕΙΣΜΩΝ

ΟΜΙΛΙΑ ΤΟΥ ΑΚΑΔΗΜΑΪΚΟΥ Κ. Α. Γ. ΓΑΛΑΝΟΠΟΥΛΟΥ

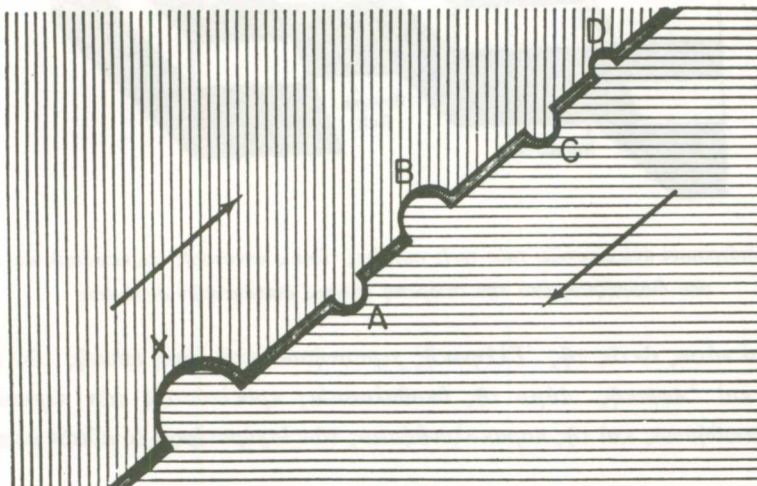
Tὰ τελευταῖα χρόνια τὸ θέμα τῆς προβλέψεως τῶν σεισμῶν ἔχει διεγείρει τὸ ἐνδιαφέρον τοῦ εὐρύτερου κοινοῦ, λόγω τῶν συχνῶν ἵσχυρῶν σεισμῶν ποὺ συμβαίνουν στὸν Ἑλληνικὸν χῶρο, καὶ ἴδιως λόγω τῆς αὐξήσεως τῆς ἐπικινδυνότητας αὐτῶν. Τὸ τελευταῖο δόφείλεται στὴν αὐξηση τοῦ πληθυσμοῦ καὶ στὴν ἐπέκταση τῶν οἰκισμῶν σὲ χαλαρὰ καὶ ἀσταθῆ ἐδάφη ποὺ εἶναι σεισμικῶς ἐπικίνδυνα, καὶ στὴ λαθραίᾳ, ἀνεξέλεγκτη καὶ ἐπισφαλῆ ἀνοικοδόμηση πολλῶν οἰκιῶν, κυρίως στὰ ἀστικὰ κέντρα. Γι' αὐτὸν ἐθεώρησα ὑποχρέωση, λόγω τῆς εἰδικότητάς μου, ὅπως ἐνημερώσω τὰ μέλη τῆς Ἀκαδημίας, καὶ ἐμμέσως τὸ κοινό, γιὰ τὶς ἀληθεῖς διαστάσεις τοῦ προβλήματος τῆς προβλέψεως τῶν σεισμῶν, καὶ κυρίως γιατὶ στὶς περισσότερες περιπτώσεις εἰναι δὲν εἶναι δυνατὴ ἡ ἔγκαιρη πρόβλεψη τῶν βλαβερῶν σεισμῶν.

Οἱ σεισμοὶ εἶναι παλμικὲς κινήσεις ἐπιφανειακῶν στρωμάτων τοῦ γῆινου φλοιοῦ μικρᾶς περιόδου καὶ μικρᾶς διαρκείας. Οἱ παλμικὲς αὐτὲς κινήσεις παράγονται λόγῳ βραδείας παραμορφώσεως γεωλογικῶν στρωμάτων ἀπὸ ἐσωτερικὲς δυνάμεις –ἐπὶ τὸ πλεῖστον– κατὰ τὴ διάρρηξη καὶ μικρὴ μετατόπιση τῶν πλευρῶν της, δητανὴ παραμόρφωση ὑπερβεῖ σὲ ὄρισμένο ἀσθενὲς σημεῖο τὸ ὅριο ἀντοχῆς διαρρήξεως τῶν πετρωμάτων ποὺ τὸ ἀπαρτίζουν.

Στὴν ἐστιακὴ περιοχὴ ἡ ἀντοχὴ διαρρήξεως τῶν πετρωμάτων ὑπολογίζεται ὅτι εἶναι τῆς τάξεως τῶν 30-100 ἀτμοσφαιρῶν (bars). Ἡ ἀντοχὴ τῶν πετρωμάτων σὲ τάση

έφελκυνσμοῦ εἶναι μικρότερη τῆς ἀντοχῆς σὲ τάση διατμήσεως, καὶ αὐτὴ μικρότερη τῆς ἀντοχῆς σὲ τάση συμπιέσεως. Ὁ λόγος τῶν εἶναι κατὰ μέσον ὅρο 1:10:30.

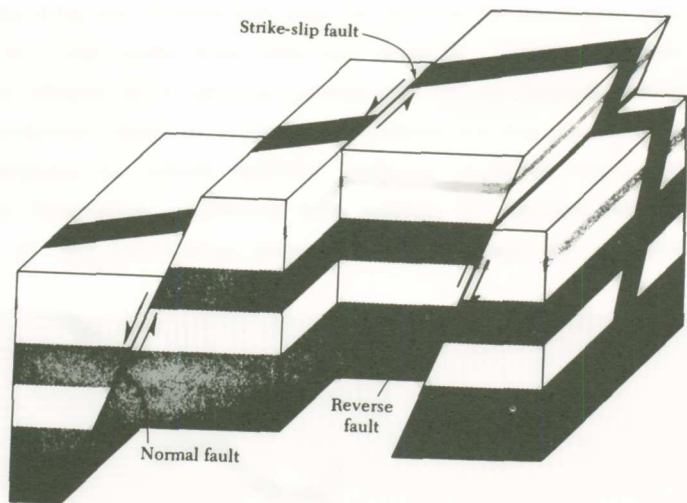
Οἱ ἐπιφάνειες διαρρήξεως δὲν εἶναι όμαλὲς καὶ λεῖες, ἀλλὰ τραχεῖες ἐπιφάνειες μὲν ἀλλεπάλληλες προεξοχὲς καὶ ἔγκολπώσεις (*asperities*), οἱ όποιες ἐμπλέκονται μεταξύ τῶν καὶ σχηματίζουν διαφόρου μεγέθους κλεῖθρα (*locks*) μὲν μικρότερη ἀντοχὴ διαρρήξεως (ἀσθενῆ σημεῖα). Τὰ κλεῖθρα αὐτὰ ἐμποδίζουν προσωρινὰ τὴν ἀμοιβαία κίνηση τῶν πλευρῶν τῶν τεμαχῶν ποὺ ἐφάπτονται μεταξύ τῶν (εἰκ. 1).



Εἰκ. 1. Σεισμογόνον ρῆγμα ὑπὸ διάτμηση. Οἱ προεξοχὲς καὶ ἔγκολπώσεις *A, B, C* καὶ *D* εἰκονίζουν τὰ κλεῖθρα, ὅπου ἐμπλέκονται οἱ ἐπιφάνειες διαρρήξεως.

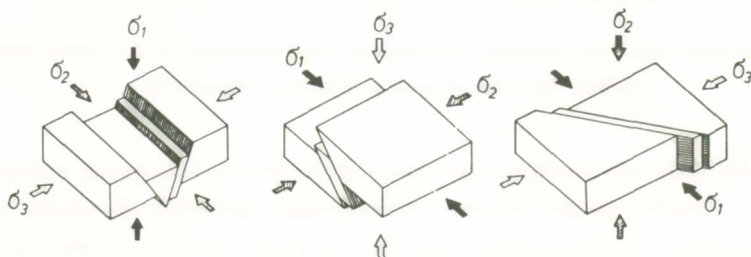
Ἡ διάρρηξη τῶν κλείθρων ποὺ προκαλεῖται ἀπὸ τὴν διατμητικὴν παραμόρφωση γειτονικῶν τεμαχῶν μπορεῖ νὰ εἶναι κατακόρυφος, ὄριζοντια, ἢ πλάγια, κατὰ τὴν διεύθυνση μεγίστης κλίσεως, κάθετα πρὸς τὴν παράταξη τῶν γεωλογικῶν στρωμάτων. Ἡ μετατόπιση τῶν ἐκατέρωθεν πλευρῶν ἢ πτερύγων ποὺ ἀκολουθεῖ τὴν διάρρηξη μπορεῖ νὰ εἶναι κανονικὴ ἢ ἀνάστροφος (ἐπώθηση), παραταξικὴ (*strike-slip-fault*) ἢ διαμήκης (*transcurrent* ἢ *wrench-fault*). Στὴν κανονικὴν μετατόπισην ἢ μετάπτωσην (*Verwerfung*), ἡ ἐπάνω πτέρυγα κινεῖται πρὸς τὰ κάτω, καὶ στὴν ἀνάστροφον (ἀριστερόστροφο) ἡ ἄνω πτέρυγα κινεῖται πρὸς τὰ ἐπάνω (εἰκ. 2). Στὴν παραταξικὴν μετάπτωσην οἱ δύο πτέρυγες κινοῦνται ἀντίθετα, κατὰ τὴν διεύθυνση τῆς παρατάξεως τῶν στρωμάτων.

Οἱ σεισμοὶ ἐπωθήσεως ποὺ ὀφείλονται σὲ ἀνάστροφο μετάπτωσην (*thrust fault*) παρατηροῦνται κατὰ κανόνα στὴν ὑποθαλάσσια τεκτονικὴ τάφρο ποὺ περιβάλλει τὶς



Εικ. 2. Σχεδιάγραμμα που εικονίζει τους τρεις συνήθεις τύπους κανονικής, παραταξικής και άναστροφού διαρρήξεως ύπό την έπιδραση ζεύγοντος διατμητικών δυνάμεων.

δυτικές και νότιες άκτες της Έλληνικής χερσονήσου, στη ζώνη έπαφης των πλακών Εύρασίας και Αφρικής. Λόγω της ύποθαλασσίας προελεύσεως των περισσότερων σεισμών έπωθήσεως και της παρακολουθήσεως των ισχυροτέρων έξ αυτῶν μὲ πελώρια

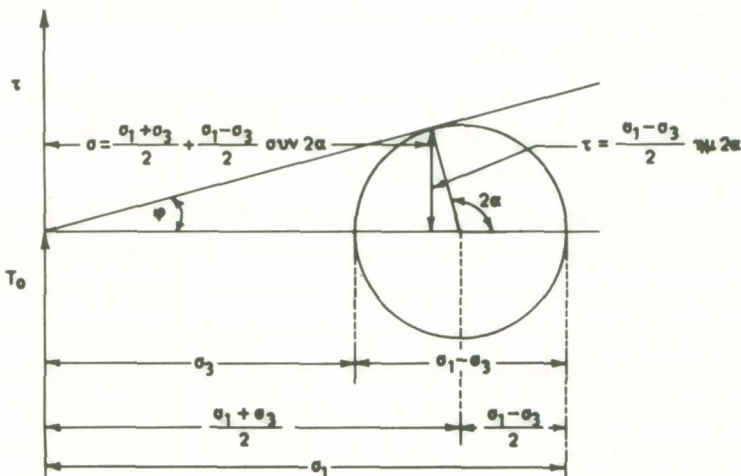


Εικ. 3. Διάταξη των δξόνων των τριών κυρίων τάσεων συμπιέσεως (σ_1) διατμήσεως (μεσαίας, σ_2) και έφελκυσμού (έλαχίστης, σ_3) και ό διαμελισμός και οι μεταθέσεις των τεμαχῶν πού προκαλοῦνται άναλογα πρός τὸν προσανατολισμὸν τῶν τάσεων: πρὸς τὰ κάτω (κανονική), πρὸς τὰ ἐπάνω (άναστροφος) και πλαγίως (παραταξική).

θαλάσσια κύματα βαρύτητας, οἱ ἀρχαῖοι πρόγονοι μας πίστεναν ὅτι οἱ σεισμοὶ ὀφείλονταν στὴν τρίαινα τοῦ Ποσειδώνα σὲ στιγμὲς ὀργῆς του. Οἱ σεισμοὶ ποὺ ὀφείλονται σὲ κανονικὴ μετάπτωση παρατηροῦνται συνήθως στὶς ἐνδοηπειρωτικὲς ἔγκατακρημνισιγεῖς λεκάνες καὶ ύποθαλάσσιες τεκτονικὲς τάφρους τῆς ύποπλάκας τοῦ Αἰγαίου.

Στὴν κανονικὴ μετάπτωση ἡ μεγίστη τάση (τάση συμπιέσεως), σ_1 , εἶναι κατακόρυφος, ἡ μεσαία (τάση διατμήσεως), σ_2 , ὀριζόντια καὶ παράλληλος πρὸς τὴν διάρρηξη, καὶ ἡ ἐλαχίστη (τάση ἐφελκυσμοῦ), σ_3 , ὀριζόντια καὶ κάθετος πρὸς τὴν διάρρηξη. Στὴν ἀνάστροφο μετάπτωση, ἡ ἐλαχίστη τάση εἶναι κατακόρυφος, ἡ μεγίστη ὀριζόντια καὶ κάθετος πρὸς τὴν διάρρηξη, ἡ δὲ μεσαία ὀριζόντια καὶ παράλληλος πρὸς τὴν διάρρηξη. Στὴν ὀριζόντια ἡ παραταξικὴ μετάπτωση ἡ μεγίστη τάση εἶναι ὀριζόντια καὶ παράλληλος πρὸς τὴν διάρρηξη, ἡ ἐλαχίστη ὀριζόντια καὶ κάθετος πρὸς τὴν διάρρηξη, καὶ ἡ μεσαία κατακόρυφος (εἰκ. 3).

Γιὰ νὰ συμβεῖ μετατόπιση τῶν παρειῶν ἐνεργοῦ ρήγματος, ἐμφόρτου ὠρίμων ἐλαστικῶν τάσεων, πρέπει κατὰ τὸν νόμον τοῦ Coulomb ἡ τάση διατμήσεως νὰ ὑπερβεῖ τὴν κρίσιμο τιμὴ: $\tau = \tau_0 + \sigma \cdot \varphi$, ὅπου σ ἡ κάθετος τάση, καὶ τ_0 ἡ ἀρχικὴ ἀντοχὴ τοῦ πετρώματος σὲ διάτμηση ὅταν $\sigma = 0$. Ἡ φ εἶναι ἡ γωνία ἐσωτερικῆς τριβῆς καὶ ἔχει τὰς ἀπὸ τὴν ποιότητα τοῦ πετρώματος. Ἡ εφ φ (= $\tau - \tau_0$) ὀνομάζεται συντελεστὴς



Εἰκ. 4. Ἀπεικόνιση στὸ διάγραμμα Mohr τῆς τάσεως ποὺ εἶναι κάθετος στὴν ἐπιφάνεια διαρρήξεως, σ , καὶ τῆς διατμητικῆς τάσεως, τ , ποὺ εἶναι παράλληλος πρὸς τὴν ἐπιφάνεια αὐτῆς. Ἐπίσης εἰκονίζονται ἡ ἐφαπτομένη τοῦ κύκλου τοῦ Mohr καὶ οἱ συνθήκες δσταθείας ποὺ προκύπτουν σὲ περίπτωση μεταβολῶν τῆς μεγίστης, σ_1 , καὶ ἐλαχίστης τάσεως, σ_3 , ἀπὸ διάφορα ἐνδογενῆ ἢ καὶ ἔξωγενῆ αἴτια.

ἐσωτερικῆς τριβῆς. Ἡ φ εἶναι ἡ γωνία ποὺ σχηματίζει ὁ ἀξῶν τῶν τάσεων (συμπιέσεως καὶ ἐφελκυσμοῦ) κάθετος πρὸς τὴν ἐπιφάνεια διαρρήξεως μὲ τὴν εὐθεία ποὺ διέρχεται ἀπὸ τὴν ἀρχὴ τῶν ἀξόνων τῆς καθέτου, σ , καὶ παραλλήλου τάσεως, τ , πρὸς τὴν ἐπιφάνεια διαρρήξεως καὶ ἐφάπτεται τοῦ γνωστοῦ κύκλου τοῦ Mohr. Ὁ κύκλος τοῦ Mohr χαράσσεται ἀπὸ τὸ κέντρο τῆς διαφορᾶς μεγίστης καὶ ἐλαχίστης τάσεως, $\sigma_1 - \sigma_3$, μὲ ἀκτίνα τὸ μισὸ τῆς διαφορᾶς αὐτῆς. Ἡ ἐφαπτομένη τοῦ κύκλου τοῦ Mohr ἀποτελεῖ τὸν γεωμετρικὸ τόπο τῶν κρισίμων τάσεων διατμήσεως (βλ. εἰκ. 4).

Σε περίπτωση κανονικῆς ἡ καὶ παραταξικῆς διαρρήξεως ἡ ἐλάττωση τῆς τάσεως ἀφελκυσμοῦ, σ₃, ποὺ εἶναι κάθετος πρὸς τὴν ἐπιφάνεια διαρρήξεως, ἄγει σὲ αὔξηση τῆς τάσεως διατμήσεως, $\tau (= \sigma_1 - \sigma_3 / 2 \cdot \eta \mu 2a)$, καὶ προσέγγιση τοῦ κύκλου τοῦ Mohr στὸν γεωμετρικὸ τόπο τῶν κρισίμων τάσεων διατμήσεως. Σὲ περίπτωση ἀναστρόφου διαρρήξεως (ἐπωθήσεως), ἐλάττωση τῆς τάσεως συμπιέσεως, σ₁, ποὺ εἶναι κάθετος πρὸς τὴν ἐπιφάνεια διαρρήξεως, ἄγει, ἀντιθέτως, σὲ μείωση τῆς τάσεως διατμήσεως καὶ ἀπομάκρυνση τοῦ κύκλου τοῦ Mohr.

Ἡ προσέγγιση τοῦ κύκλου τοῦ Mohr στὸν γεωμετρικὸ τόπο κρισίμων τάσεων διατμήσεως ἡ ἡ ἀπομάκρυνσή του ἔχει ως ἀποτέλεσμα τὴν ἐπίσπευση ἡ ἀναστολὴ, ἀντιστοίχως, τοῦ χρόνου γενέσεως τοῦ ἐπικείμενου σεισμοῦ. Αὔξηση τῆς λιθοστατικῆς ἡ τῆς πορικῆς πιέσεως καὶ λίπανση (*lubrication*) τῶν παρεῖων τοῦ ρήγματος μπορεῖ νὰ προκαλέσει ἐπιτάχυνση τῆς αὐτοδιοργανώσεως κρισίμου καταστάσεως (*self-organized criticality*^{*}) καὶ μετάθεση τῶν πλευρῶν τοῦ ρήγματος. Ἀντιθέτως, ἐλάττωση αὐτῶν μπορεῖ νὰ ἐπιφέρει ἀποδιοργάνωση τῆς κρισίμου καταστάσεως καὶ καθυστέρηση τῆς μεταθέσεως ἡ καὶ ματαίωση αὐτῆς.

Ἡ πρόγνωση τῶν σεισμῶν γιὰ νὰ εἶναι χρήσιμος πρέπει νὰ προβλέπει ἐγκαίρως τὸ χρόνο γενέσεως τῶν βλαβερῶν σεισμῶν καὶ μόνον, ως καὶ τὴν περιοχὴ προειδοποίησίας αὐτῶν καὶ τὴν ἐπικινδυνότητά των.

Ο χρόνος γενέσεως τῶν βλαβερῶν σεισμῶν δύναται, ἐνίστε, νὰ προβλεφθεῖ ἐγκαίρως ἀπὸ συρροὴ διαφόρων προδρόμων φαινομένων. Τὰ πρόδρομα φαινόμενα τῶν σεισμῶν εἶναι σεισμικά, ἡλεκτρικά, μαγνητικά, ραδιενεργά, ἡχητικά, ἐλαστικά, παλιρροϊκά, ὑδρολογικά, γεωδαιτικά, βιολογικά καὶ ἄλλα σπανιότερα. Μερικὰ ἀπὸ τὰ δέκα αὐτὰ προειδοποιητικὰ φαινόμενα ἐμφανίζονται σχετικῶς συχνότερα. Πάντως, δὲ ἐν εὑρέθηκε οὕτε ἔνα σεισμικὸ πρόδρομο, τὸ ὄποιο νὰ ἐμφανίζεται σὲ περίπτωση ποὺ δὲν συνέβη σεισμός. Συνεπῶς ὅλα τὰ μέχρι τοῦδε εὑρεθέντα σεισμικὰ πρόδρομα πρέπει νὰ θεωροῦνται ἀπλῶς καὶ μόνον ως πιθανὰ σεισμικὰ συνμικρά.

Πρόδρομες μεταβολὲς στὴ σεισμικὴ δράση περιοχῶν προετοιμασίας βλαβερῶν σεισμῶν μὲ ἐπιφανειακὸ μέγεθος M_s ἵσο ἡ μεγαλύτερο τοῦ $5\ 1/4$ ($m_b=5.8$) παρατηροῦνται μόνον σὲ 30% τῶν περιπτώσεων γενέσεως κυρίων σεισμῶν, καὶ πάντως μὲ πολὺ ἀσθενῆ τάση ὁμοιομορφίας στὴ διαδικασία προετοιμασίας τῆς ἐστιακῆς

* As the proverbial straw broke the camel's back, large interactive systems, as complicated as the earth's crust, evolve toward a critical state in which a minor event can lead to a catastrophe (Per Back and Kan Chen, 1991).

περιοχῆς. Ἐκτὸς τούτου, οἱ προσεισμοὶ πολὺ δύσκολα διακρίνονται ἀπὸ τοὺς συνήθεις ἀσθενεῖς σεισμοὺς τῆς κανονικῆς σεισμικῆς στάθμης διαταράξεως τῆς περιοχῆς (*seismic background*), ὡς ἐπίσης ἀπὸ τοὺς σμηνοσεισμούς, οἱ ὅποιοι εἶναι συρροὲς σεισμῶν ποὺ δὲν ἀκολουθοῦνται ἀπὸ σεισμὸ μεγέθους δυναμένου νὰ προκαλέσει ζημίες.

Στὴν ἵδια περίπου συχνότητα (30% τῶν περιπτώσεων σεισμῶν δυναμένων νὰ προκαλέσουν βλάβες) ἡ καὶ μικρότερη παρατηροῦνται καὶ τὰ ἄλλα προειδοποιητικὰ σήματα ποὺ ἀναφέρθηκαν προηγουμένως. Ὡς τόσο, τὰ προειδοποιητικὰ σήματα δύο σεισμῶν δὲν εἶναι ποτὲ ἀκριβῶς ὅμοια, καὶ μερικὰ ἀπὸ αὐτὰ μπορεῖ νὰ εἶναι παραπλανητικά, ὅπως συμβαίνει καὶ μὲ μερικὰ συμπτώματα ἀσθενειῶν. Στὴ Γεωφυσική, ὅπως καὶ στὴν Ἰατρική, οἱ στατιστικὲς συνσχετίσεις δὲν εἰναι ἀπόδειξη ἀτίας καὶ αἴτιας καὶ αἴτιατοῦ. Οἱ σεισμοὶ καὶ οἱ ἀσθένειες εἶναι πολυπαραγοντικὰ φαινόμενα. Τὰ ἵδια συμπτώματα μπορεῖ νὰ διαφέρουν σὲ διάφορα αἴτια, ὅπως τοῦτο παρατηρεῖται καὶ στὶς ἀσθένειες. Κατὰ τὸν C. Lomnitz (1989), «ὁ σεισμικὸς κίνδυνος εἶναι τυχερὸς παιχνίδι, τοῦ ὅποιου δὲν γνωρίζομεν ἀκόμη ὅλους τοὺς κανόνες». Γι' αὐτὸν ἡ ἔγκαιρη πρόβλεψη τοῦ χρόνου γενέσεως βλαβεροῦ σεισμοῦ ἀπὸ ἔνα καὶ μόνο προειδοποιητικὸ σῆμα δὲν εἶναι ποτὲ ἀσφαλῆς. Χρειάζεται ἡ συνδρομὴ ποικίλων προειδοποιητικῶν σημάτων –ὅπως καὶ συμπτωμάτων στὶς ἀνθρώπινες ἀσθένειες– μὲ αὗξουσα συχνότητα σὲ σαφῶς διαγραφόμενη περιοχή, γιὰ νὰ μπορεῖ νὰ γίνει μὲ ἐπαρκῆ ἀκρίβεια, ὀλίγων ὥρῶν ἡ ἡμερῶν, ὁ καθορισμὸς τοῦ χρόνου γενέσεως βλαβεροῦ σεισμοῦ, ὅπως συνέβηκε στὴν περίπτωση τοῦ καταστρεπτικοῦ σεισμοῦ *Haicheng*, στὴν ἐπαρχία *Liaoning* τῆς Κίνας (40,6°N, 122,6°E) τῆς 4ης Φεβρουαρίου 1975, μεγέθους 7,3. Ἐν τούτοις, τοιαύτη συρροὴ προειδοποιητικῶν σημάτων δὲν παρατηρήθηκε στὸν πολύνεκρο σεισμὸ *Tangshan* (περίπου 250.000 νεκροὶ καὶ 500.000 τραυματίες) στὶς 28 Ιουλίου 1976, ποὺ ἔγινε σὲ γειτονικὴ ἐπαρχία (*Kebei*) τοῦ προηγούμενου σεισμοῦ (39,6°N, 118,05), μεγέθους 7,8.

Βραχείας διαρκείας μεταβολὲς τῆς ἐντάσεως τῶν γηῖνων ἡλεκτρικῶν ρευμάτων, ποὺ ρέουν σὲ φύλλα παράλληλα πρὸς τὴν ἐπιφάνεια τῆς Γῆς, δύνανται νὰ προκαλοῦνται ἀπὸ τεχνικὰ καὶ ἄλλα φυσικὰ αἴτια, ὅπως λ.χ. ἀπὸ μαγνητικοὺς παλμοὺς διαρκείας ὀλίγων δευτερολέπτων μέχρι τριῶν λεπτῶν περίπου. Δὲν ύπάρχουν φυσικὰ κριτήρια γιὰ τὴ διάκριση τῶν μεταβολῶν αὐτῶν ἀπὸ τὶς διαταράξεις ποὺ προκαλοῦνται ἀπὸ ἐπιπρόσθεση πιεζοηλεκτρικοῦ ρεύματος ποὺ παράγεται ἐνδεχομένως κατὰ τὴν παραμόρφωση γρανιτοειδῶν πετρωμάτων ὀλίγον πρὸ τῆς διαρρήξεώς των. Θεωρητικῶς, δὲν πρέπει ν' ἀναμένεται παραγωγὴ ἀξιολόγου πιεζοηλεκτρικοῦ ρεύματος ἰκανοῦ νὰ διαταράξει τὸ δυναμικὸ τῶν γηῖνων ἡλεκτρικῶν ρευμάτων, ὅταν ἡ ἐστιακὴ περιοχὴ εἶναι σὲ βάθος μεγαλύτερο τῶν 20 χιλ. περίπου, ὅπου ἐπικρατοῦν βασικὰ καὶ ὑπερβα-

σικὰ πετρώματα ποὺ εἶναι πτωχὰ σὲ χαλαζία. Ἡ ἵδια παρατήρηση ἰσχύει καὶ ὅταν ἡ ἔστια εὑρίσκεται στὸν ίζηματογενῆ τομέα.

Θὰ πρέπει ἐδῶ ν' ἀναφερθεῖ, ὅτι σὲ πολλὲς περιπτώσεις ἔχει παρατηρηθεῖ ἀνακούφιση ἔστιακῶν δγκων, σὲ στάδιο ἰσχυρᾶς παραμορφώσεως ποὺ ἐγγίζει τὸ ὄριο ἀντοχῆς διαρρήξεως, μὲ συνεχεῖς βραδεῖς ἐρυπυστικὲς κινήσεις (*creep*) ποὺ ἀναστέλλουν ἡ καὶ ἀποτρέπουν τὴ γένεση μεγάλου σεισμοῦ. Στὴν περίπτωση αὐτῇ εἶναι δυνατὴ ἡ γένεση πιεζοηλεκτρικοῦ ρεύματος καὶ ἀναγραφὴ σήματος χωρὶς ν' ἀκολουθήσει ἀντίστοιχος σεισμός. Τὸ φαινόμενο αὐτὸν φαίνεται νὰ λαμβάνει χώραν καὶ στὴν παράκτια περιοχὴ τῆς Λοκρίδας.

Κατὰ τὴν περίοδο 1969-1984 ἔχει παρατηρηθεῖ στὴν παραλία τῆς Λοκρίδας ἐλαφρὰ ἐπίκλυση τῆς θάλασσας, λόγω βραδείας, κανονικῆς πρὸς τὰ κάτω μεταθέσεως τῆς ἀνω πτέρυγας τοῦ ὁμωνύμου ρήγματος, τῆς τάξεως $1, 1 \pm 0,3$ χιλιοστ/τὴν ὥρα (*Rondoyanni*, 1988). Τὸ ρῆγμα τῆς Λοκρίδας εἶναι γνωστὸ γιὰ τὶς μεγάλες ἐρημώσεις ποὺ ἐπέφεραν οἱ σεισμοὶ τοῦ 426 π.Χ. ($38^{\circ}3/4^{\circ}$ N, $22^{\circ}1/2^{\circ}$ E) καὶ 551 μ.Χ. ($38^{\circ}3/4^{\circ}$ N, $22^{\circ}3/4^{\circ}$ E), ως καὶ γιὰ τὴν ἐπιφανειακὴ τοῦ ἐκδήλωση κατὰ τοὺς πρὸς ἀπὸ 100 χρόνια περίπου καταστρεπτικοὺς σεισμοὺς τῆς 20ῆς καὶ 27ῆς Ἀπριλίου 1894, μεγέθους $6^{\circ}3/4$ καὶ 7° , ἀντιστοιχῶς ($38,6^{\circ}$ N, $23,2^{\circ}$ E καὶ $38,7^{\circ}$ N, $23,1^{\circ}$ E).

Τὰ ραδιενεργὰ φαινόμενα καὶ ἡ ἀνησυχία ἡ ἀνώμαλος συμπεριφορὰ διαφόρων ζώων καὶ νευρικῶν ἀτόμων ποὺ παρατηροῦνται ἐνίστε πρὸς ἀπὸ μεγάλους σεισμούς*, ὅπως συνέβηκε στὸν καταστρεπτικὸ σεισμὸ τῆς Ἐλίκης ($38^{\circ}1/4^{\circ}$ N, $22^{\circ}1/4^{\circ}$ E) τὸ 373 π.Χ., εἶναι αἰσθητὰ μόνον, ὅταν ἐπάνω ἀπὸ τὴν περιοχὴ προετοιμασίας τοῦ σεισμοῦ εὑρίσκονται χαλαρὰ ἀλλοιοβιακὰ στρώματα.

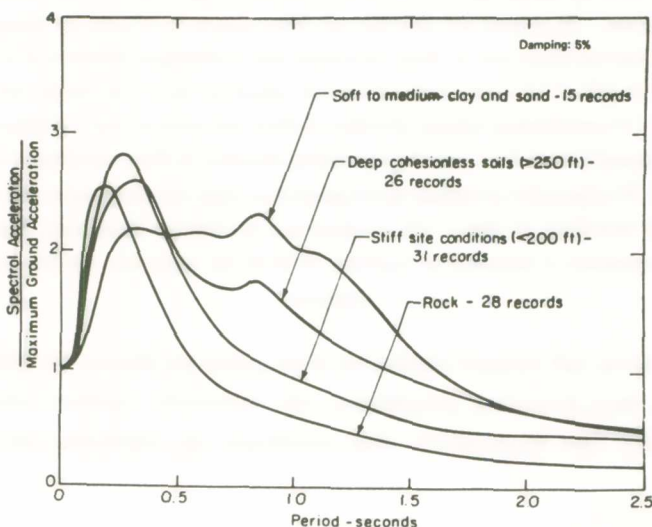
Μεταβολὲς στὴ στάθμη τοῦ φρεατίου ὁρίζοντα καὶ στὴν παροχὴ πηγῶν ως καὶ ἄλλα ὑδρολογικὰ φαινόμενα (λ.χ. θόλωση τῶν ὑδάτων κ.λπ.) δύναται νὰ ὀφείλονται σὲ διαδικασία προετοιμασίας σεισμικῆς διαταράξεως, ἀλλὰ καὶ σὲ ποικίλα ἄλλα αἴτια. Τὸ αὐτὸν ἰσχύει καὶ γιὰ ἄλλα ἔκτακτα παλιρροϊκὰ ἡ γεωδαιτικὰ πρόδρομα (λ.χ. μεταβολὴ τῆς κλίσεως ἡ καὶ διόγκωση μὲ ἔξαρση περιορισμένων ἔκτασεων καὶ ἐλαστικὰ φαινόμενα, λ.χ. βραχύβια μεταβολὴ στὴν ταχύτητα μεταδόσεως σεισμικῶν κυμάτων κ.λπ.), ως ἐπίσης καὶ γιὰ τὰ ἡχητικὰ καὶ φωτεινὰ φαινόμενα ποὺ παρατηροῦνται ἐνίστε πρὸς ἀπὸ μεγάλους σεισμούς.

Μεγαλυτέρα ἀδυναμία παρατηρεῖται στὸν καθορισμὸ τῆς ἐπικινδυνότητας τοῦ ἐπικείμενου σεισμοῦ. Ἡ σεισμικὴ ἐπικινδυνότητα δὲν μπορεῖ νὰ καθορισθεῖ μόνον ἀπὸ

* Τὸ 373 π.Χ., 5 ἡμέρες πρὸ τοῦ καταστρεπτικοῦ σεισμοῦ τῆς Ἐλίκης «ὅσοι μύες ἐν αὐτῇ ἤσαν καὶ γαλαῖ καὶ ὄφεις καὶ σκολόπενδραι καὶ σφονδύλαι καὶ τὰ λοιπὰ ὅσα ἦν τοιαῦτα, ἀθρόα ὑπεξῆρει τῇ εἰς Κερύνειαν ἐκφερούσῃ» (*Αἰλιανὸς* II, σελ. 1, 95).

τὸ πιθανὸ μέγεθος τοῦ ἀναμενόμενου σεισμοῦ, ποὺ δίδεται συνήθως στὶς μέχρι τοῦδε σεισμικὲς προβλέψεις βραχείας, μικρᾶς ἢ μεγάλης διαρκείας ἀναμονῆς. Τὸ μέγεθος τοῦ σεισμοῦ εἶναι ἔνα μέτρο τοῦ συνολικοῦ ποσοῦ ἐνεργείας ποὺ ἐκλύεται κατὰ τὴ διάρρηξη τῆς ἑστιακῆς περιοχῆς. Ἡ ἐπικινδυνότητα τοῦ σεισμοῦ ὅριζεται ἀπὸ τὴν κατὰ τόπους ἔνταση τῶν ἀποτελεσμάτων τοῦ σεισμοῦ. Τὸ μέγεθος τοῦ σεισμοῦ εἶναι ἀνάλογο μὲ τὴν ἴσχὺ τοῦ ἐκπεμπομένου σήματος ραδιοφωνικοῦ ἢ τηλεοπτικοῦ σταθμοῦ, ἢ δὲ σεισμικὴ ἔνταση μὲ τὴν κατὰ τόπους ἴσχὺ λήψεως τοῦ σήματος. Ἡ ἴσχὺς λήψεως τοῦ σήματος δὲν ἔξαρτᾶται μόνο ἀπὸ τὴν ἴσχὺ τοῦ σταθμοῦ ἐκπομπῆς τοῦ σήματος ἢ καὶ τὴν ἀπόσταση τοῦ τόπου λήψεως τοῦ σήματος. Διάφορες μορφολογικὲς ἀνωμαλίες τῆς ἐπιφανείας τῆς Γῆς ἢ ἄλλα ἐμπόδια (λ.χ. ύψηλὰ κτίρια) σὲ ὄρισμένες περιοχὲς λήψεως, ὡς καὶ ἡ κατὰ τόπους καιρικὴ κατάσταση τῆς ἀτμοσφαίρας, δύνανται νὰ προκαλοῦν αὔξηση, μείωση ἢ καὶ ἀπόσβεση ἀκόμη τοῦ σήματος.

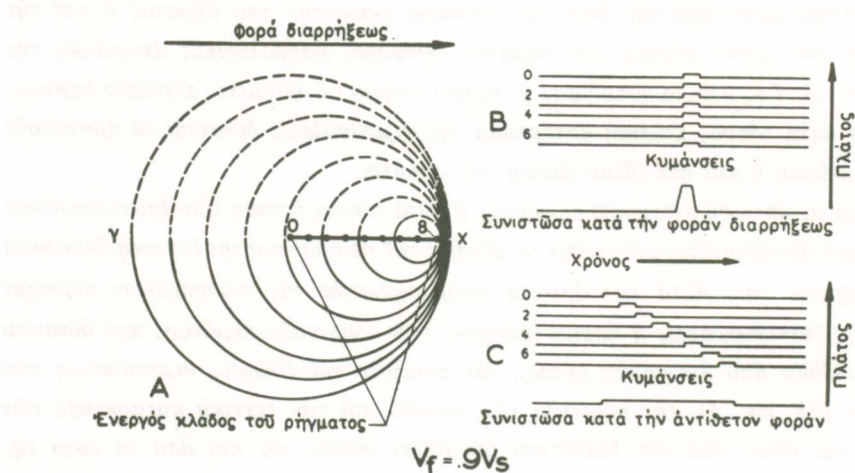
Στὴν περίπτωση σεισμικῆς δονήσεως, ἡ κατὰ τόπους ἔνταση τῶν ἀποτελεσμάτων τοῦ σεισμοῦ δὲν ἔξαρτᾶται μόνον ἀπὸ τὸ μέγεθος τοῦ σεισμοῦ καὶ τὴν ἑστιακὴν ἀπόστασην παρατηρήσεώς του, ἀλλὰ καὶ ἀπὸ τὴ γεωμορφολογία τῆς πλειστείστου περιοχῆς (λόγω τῆς ἐπικεντρώσεως ἢ ἀποκεντρώσεως τῶν σεισμικῶν κυμάτων, ποὺ δύνανται νὰ προκληθοῦν ἀπὸ ἀνωμαλίες αὐτῆς), τὴν ποιότητα τοῦ ἐδάφους θεμελιώσεως τῶν οἰκισμῶν (βλ. εἰκ. 5), τὴν ποιότητα τῶν ύλικῶν καὶ τὴν τεχνικὴ κατασκευῆς τῶν κτιρίων καὶ ιδίως ἀπὸ τὴν ἐλατότητα (*ductility*) αὐτῶν, ὡς καὶ ἀπὸ τὸ λόγο τῆς



Εἰκ. 5. Φασματικὲς μορφὲς τοῦ μέσου ὄρου μεγίστων ἐδαφικῶν ἐπιταχύνσεων ποὺ παρουσιάζονται σὲ διάφορες συνθῆκες ἐδαφῶν θεμελιώσεως.

περιόδου τοῦ ισχυρότερου μέρους τῆς ἐδαφικῆς κινήσεως πρὸς τὴν ίδιοπερίοδο αἰωρήσεως ἐκάστου κτιρίου, δηλαδὴ ἀπὸ τὴν εὐπάθεια τῶν κατασκευῶν (*vulnerability*) ἐκάστου οἰκισμοῦ. Ἐπίσης ἔξαρταται ἀπὸ τὴν διεύθυνση διαρρήξεως, τὸ βάθος τῆς ἐστίας καὶ τὴν διάρκεια τοῦ αἰσθητοῦ μέρους τῆς ἐδαφικῆς κινήσεως*.

Ἐὰν ὁ τόπος παρατηρήσεως εἶναι κατὰ τὴν διεύθυνση διαρρήξεως, ή ἔνταση τοῦ σεισμοῦ εἶναι πολὺ μεγαλυτέρα ἀπὸ αὐτὴν ποὺ παρατηρεῖται στὴν ἵδια ἀπόσταση καὶ ὑπὸ τῆς αὐτές συνθῆκες, κατὰ τὴν ἀντίθετη διεύθυνση (βλ. εἰκ. 6).



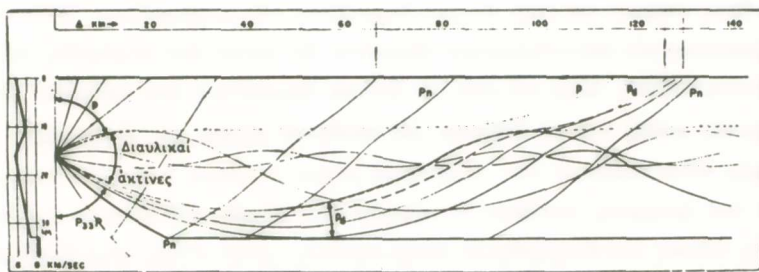
$$V_f = 0.9Vs$$

Εἰκ. 6. Ἀκτινοβολία τῆς οεισμικῆς κυματικῆς ἐνεργείας καὶ σχηματισμὸς κύματος κρούσεως κατὰ τὴν φορὰ τῆς διαρρήξεως. Ἡ γραμμὴ 0-8 εἰκονίζει τὴν ὀλικὴ ὄριζόντια ἔκταση τῆς διαρρήξεως, ή ὅποια ἀρχισε ἀπὸ τὸ 0 καὶ κατέληξε στὸ 8. Κατὰ τὴν στιγμὴν ποὺ ἡ ὀλίσθηση ἔφθασε στὸ 8, τὰ κύματα ποὺ γεννήθηκαν στὰ σημεῖα 1.2.3 κ.λπ. κατὰ μῆκος τοῦ ρήγματος ἔχουν τὴν μορφὴν ποὺ παρουσιάζει ἡ ἀνωτέρω εἰκόνα. Ὁ μεγαλύτερος κύκλος εἰκονίζει τὴν θέση τοῦ κύματος ποὺ γεννήθηκε στὸ σημεῖο 0, σταν ἀρχισε ἡ διάρρηξη. Ὁ ἀμέσως μικρότερος κύκλος εἰκονίζει τὴν θέση τοῦ κύματος ποὺ μεταδόθηκε ἀπὸ τὸ σημεῖο 1. Τὸ κύμα αὐτὸν γεννήθηκε ἀργότερα ἀπὸ τὸ κύμα ποὺ ἀναχώρησε ἀπὸ τὸ σημεῖο 0. Οἱ ὑπόλοιποι κύκλοι δεικνύουν τὶς θέσεις τῶν κυμάτων ποὺ γεννήθηκαν διαδοχικῶς στὰ σημεῖα 2, 3, 4 κ.λπ. καθὼς προχωροῦσε ἡ διάρρηξη μὲ ταχύτητα τὰ 9/10 τῆς ταχύτητας τῶν ἐγκαρσίων σεισμικῶν κυμάτων.

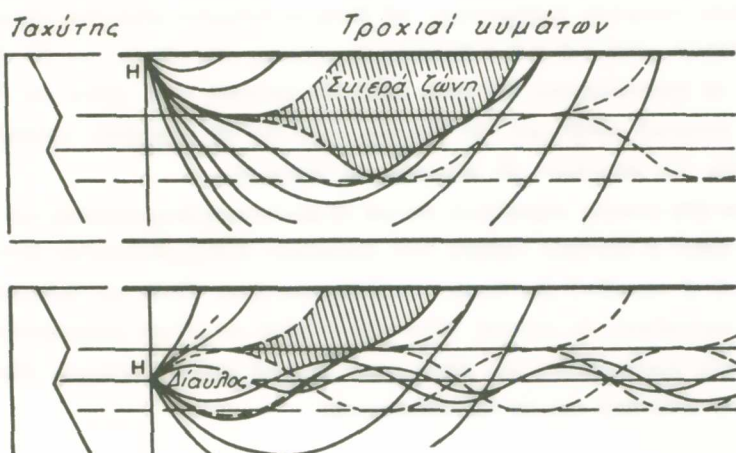
Ἐὰν ἡ ἐστία τοῦ σεισμοῦ εὑρίσκεται στὸν γρανιτικὸ δίαυλο, δηλαδὴ σὲ βάθος 10 ἔως 30 χιλ., ὅπου ἡ ταχύτης μεταδόσεως τῶν σεισμικῶν κυμάτων λόγῳ τῆς ἐλατότητας (*ductility*) τῶν πετρωμάτων εἶναι μικρότερη τῆς ταχύτητας μεταδόσεώς των

* Any single earthquake may exhibit ground motions significantly higher or lower than predicted due to local or earthquake-specific effects not accounted for in predictions of 'average' motions (Atkinson, 1990).

στὸ ὑπερκείμενο καὶ ὑποκείμενο στρῶμα (βλ. εἰκόνα 7 καὶ 8), μεγάλο κλάσμα τῆς ἐκλυνομένης σεισμικῆς ἐνέργειας, τουλάχιστον 50%, παγιδεύεται καὶ παραμένει στὸ στρῶμα μικρᾶς ταχύτητας μεταδόσεως. Στὴν περίπτωση αὐτῆς, δηλαδὴ γιὰ ἐστιακὸ βάθος 10-30 χιλμ., δὲν ἴσχυει ἡ μέση μεταβολὴ τῆς μακροσεισμικῆς ἐντάσεως τῶν ἐπιφανειακῶν σεισμῶν σὲ συνάρτηση μὲ τὴν ἐπικεντρικὴ ἀπόσταση καὶ τὸ μέγεθος ἐπιφανειακῶν κυμάτων ποὺ δίδεται ἀπὸ διαφόρους τύπους γιὰ σεισμοὺς κανονικοῦ βάθους ($h \leq 60$ χιλμ.).



Εἰκ. 7. Τροχιὲς τῶν ἐπιμήκων κυμάτων μέχρι τῆς ἀποστάσεως τῶν 140 χιλμ., ὅταν ἡ ἐστία τοῦ σεισμοῦ εὑρίσκεται στὸν «γρανιτικὸ δίαυλο». Στὸ δριστερὸ μέρος τῆς εἰκόνας δίδονται οἱ ταχύτητες τῶν κυμάτων σὲ συνάρτηση μὲ τὸ βάθος.



Εἰκ. 8. Μεταβολὴ τῆς θέσεως καὶ τοῦ εύρους τῆς σκιερᾶς ζώνης τοῦ γρανιτικοῦ διαύλου γιὰ ὀρισμένη σχέση ταχύτητας βάθους σὲ συνάρτηση μὲ τὸ ἐστιακὸ βάθος.

΄Από τὴ σύγκριση τῶν μικροσεισμικῶν ἀποτελεσμάτων κανονικοῦ βάθους διατεμαχικῶν σεισμῶν, ποὺ εἶχαν μέγεθος 7-7 1/4 στὴν περίοδο 1900-1978 καὶ ἐνδιαμέσου βάθους ἐνδοτεμαχικῶν σεισμῶν μεγέθους 7 1/2 καὶ ἐπάνω, δὲν φαίνεται ἡ ἐπικεντρικὴ ἔντασή των, ἢ ἡ μεγίστη ἔνταση, ἢ ἐπιτάχυνση ποὺ παρατηρήθηκε κατ' αὐτοὺς νὰ ἥταν διαφόρου τάξεως μεγέθους*. Οἱ σεισμοὶ αὐτοὶ διέφεραν μεταξύ των μόνον ὡς πρὸς τὴν ἔκταση τῆς πλειοσείστου ζώνης, ἢ τῶν ἰσοβλαβῶν ἐπιφανειῶν, καὶ γενικότερα στὴν ἔκταση τῶν μακροσεισμικῶν ἀποτελεσμάτων ποὺ εἶχαν προκαλέσει. “Οπως φαίνεται, ὑπάρχει ἔνα δριο στὴ μεγίστη ἔνταση τῶν μακροσεισμικῶν ἀποτελεσμάτων, ὅπως ὑπάρχει καὶ στὴν ἀντοχὴ διαρρήξεως τῶν πετρωμάτων. Ἡ ἔκταση ὅμως τῶν μακροσεισμικῶν ἀποτελεσμάτων ἐξαρτᾶται ὅχι μόνον ἀπὸ τὸ μέγεθος τοῦ σεισμοῦ καὶ τὸ ἐστιακὸ βάθος, ἀλλὰ καὶ ἀπὸ τὴν ἔκταση διαρρήξεως ποὺ καθορίζει τὸ μέγεθος τῆς σεισμικῆς ροπῆς καὶ τὴ διάρκεια τοῦ αἰσθητοῦ μέρους τῆς δονήσεως.

Στοὺς πέντε σεισμοὺς τοῦ Ἑλλαδικοῦ χώρου μεγέθους 5 1/2 καὶ ἐπάνω, ποὺ θὰ ἥδυναντο ὑπὸ ὄρισμένες συνθῆκες νὰ προκαλέσουν βλάβες VII βαθμοῦ καὶ ἐπάνω, γιὰ ὅλους τοὺς λόγους ποὺ ἀναφέρθηκαν προηγουμένως, μόνον ὁ ἕνας εἶναι βλαβερός. Αὐτὸ σημαίνει ὅτι στὶς 5 ἀναγγελίες βλαβερῶν σεισμῶν οἱ 4 θὰ εἶναι σὰν τὶς κραυγὲς τοῦ βοσκοῦ τοῦ γνωστοῦ μύθου περὶ λύκου (*cry-wolf forecasts*).

΄Εὰν παραβλέψομε τὶς ποικίλους εἴδους τρομερὲς παρενέργειες στὴν Ἐθνικὴ καὶ ιδιωτικὴ οἰκονομία, στὴν κυκλοφορία τῶν μέσων συγκοινωνίας καὶ στὴν ὑγεία (σωματικὴ καὶ ψυχολογικὴ) τῶν κατοίκων ποὺ θὰ ἔχει ἡ προαναγγελία μιᾶς τοιαύτης δορίστου σεισμικῆς ἀπειλῆς, στὶς 5 ἐκκενώσεις οἰκισμῶν μόνον ἡ μία θὰ ἥταν ἐπωφελής, καὶ αὐτὴ μόνον γιὰ τοὺς κατοίκους ποὺ δὲν διαμένουν σὲ κτίριο ἵκανὸν ν ἀνθέξει τὶς ἀναμενόμενες σεισμικὲς ἐπιβαρύνσεις. Μὲ βάση τὰ δεδομένα αὐτὰ εἶναι μᾶλλον βέβαιο ὅτι οἱ κάτοικοι μετὰ 2 ἢ 3 ἢ 4 ἄσκοπες ἐκκενώσεις τῶν οἰκιῶν των δὲν θὰ δεῖξουν προθυμία νὰ ἔγκαταλείψουν καὶ ἄλλη φορὰ τὴν κατοικία τους. Οὕτω καὶ ἐνδεχόμενη ἐπιτυχῆς σεισμικὴ πρόβλεψη τὴν ἐπόμενη φορὰ δὲν θὰ ὠφελήσει, τουλάχιστον τὴν πλειονότητα τῶν κατοίκων τῆς ἀπειλούμενης περιοχῆς.

Εἶναι ἥδη γενικῶς παραδεκτό, ὅτι γιὰ τὴν ρεαλιστικὴ ἀντιμετώπιση τοῦ σεισμικοῦ κινδύνου ἀρκεῖ ἡ αὐστηρὴ τήρηση τῶν διατάξεων ἐκσυγχρονισμένου ἀντισεισμικοῦ κανονισμοῦ, ἡ περιοδικὴ βελτίωσή του, λόγω νεωτέρων ἰδεῶν καὶ δεδομένων, καὶ ἡ ἐνίσχυση συγχρόνως τῆς ἀντοχῆς ὅλων τῶν κτιρίων ποὺ ἔχουν κατασκευασθεῖ χωρὶς ἀντισεισμικὲς προδιαγραφές, καὶ ιδίως χωρὶς ἐπαρκῆ εὐήλατα στοιχεῖα (*ductile components*) σὲ εὐάισθητα σημεῖα τῆς κατασκευῆς.

* Πρόσφατα εὑρέθηκε στὴν Ιαπωνία (Fukushima and Tanaka, 1990), ὅτι: ἀνεξαρτήτως σεισμικοῦ μεγέθους, ἡ μέση τιμὴ τῆς μεγίστης ὄριζοντίας ἐπιταχύνσεως στὴν ἐστιακὴ περιοχὴ εἶναι 620 cm/sec^2 . Σὲ σκληρὸν ἢ μαλακὸ ἔδαφος παρατηρεῖται μείωση ἢ αὔξηση αὐτῆς κατὰ 40%, ἀντιστοίχως.

Γιὰ ὅλους τοὺς λόγους ποὺ ἀναφέρθηκαν προηγουμένως, ἡ ἀναζήτηση μεθόδου ἐπιτυχοῦς προβλέψεως τῶν βλαβερῶν σεισμῶν εἶναι, ἀπὸ πρακτικῆς πλευρᾶς, καθαρὰ οὐτοπία. Ἡ πρόβλεψη ἀβλαβῶν σεισμῶν μικροτέρου μεγέθους, καὶ ἴδιως μετασεισμῶν ποὺ εἶναι γνωστὸς ὁ τόπος προελεύσεώς των, λόγω τῆς μεγάλης συχνότητας αὐτῶν, πρὸ παντὸς σὲ χῶρες ἐντόνως σεισμικὲς ὅπως εἶναι ἡ Ἑλλάς, εἶναι στατιστικῶς δυνατὴ μὲ ἀρκετὴ ἀκρίβεια, ἀλλὰ εἶναι ἀνευ πρακτικῆς σημασίας καὶ δὲν χρειάζεται εἰδικὲς μεθόδους προβλέψεώς των.

ΒΙΒΛΙΟΓΡΑΦΙΑ ΚΑΙ ΑΝΑΦΟΡΕΣ

1. *Atkins M. G., A Comparison of Eastern North American Ground Motion. Seism. Res. Letters, Vol. 61, No 3-4, pp. 171-192, 1990.*
2. *Backson Per and Kan Chen, Self-Organized Criticality, Seient. Amer., pp. 26-33, 1991.*
3. *Bolt C. B., Earthquakes. New York, W. H. Freeman and Company, 1988.*
4. *Cere J. M. and H. C. Sharm, Terra non Firma. New York, W. H. Freeman and Company, 1988.*
5. Γαλανόπουλος Γ. Α., *Στοιχεῖα Σεισμολογίας καὶ Φυσικῆς τοῦ ἐσωτερικοῦ τῆς Γῆς*. Αθήνα 1971.
6. Γαλανόπουλος Γ. Α., *Ελσαγωγικὰ Μαθήματα Ἐφηρμοσμένης Γεωφυσικῆς*, Αθήνα 1976.
7. Γαλανόπουλος Γ. Α., *Oἱ βλαβεροὶ Σεισμοὶ καὶ τὸ Σεισμικὸν Δυναμικὸν τῆς Ἑλλάδος, Γεωλογικὰ Χρονικὰ τῶν Ἐλληνικῶν Χωρῶν, XXX/2, σ. 647-724, 1981.*
8. *Fukushima Y. and T. Tanaka, A New Attenuation Relation for Peak Horizontal Acceleration of Strong Earthquake Ground Motion in Japan. Bull. Seism. Soc. Am., Vol. 80, No 4, pp. 758-778, 1990.*
9. *Gupta K. H., and B. K. Rastogi, Dams and Earthquakes. «Devel. in Geot. Eng., 11. Amsterdam: Elsevier Sci. Publ. Co., 1976.*
10. *Lomnitz C., Comment on «Temporal and Magnitude Dependence in Earthquake Recurrence Models» by C. A. Cornell and S. R. Winterstein. Bull. Seism. Soc. Am., Vol. 79, No 5, p. 1662, 1989.*
11. *Rondonianni Th., Tectonique Recente et Subsidence des Sites Historiques aux Rivages de Locride, Grèce. «Proceedings of the Engineering Geology of Ancient Works, Monuments and Historical Sites», Vol. 33, pp. 1583-1589, 1988.*